

報 文  
화학공학 제11권, 제5호  
J. KICHE. Vol. 11, No. 5  
Oct. 1973

## 回分蒸留工程에 있어서 Holdup Ratio의 効果에 關한 研究

—回分蒸留에 關한 研究(II)—

鄭 雲 淳\* · 金 雨 植\*\* · 趙 晶 來\*\*

(접수 73. 8. 10)

## The Study on the Effect of Holdup Ratio in the Fractional Batch Distillation

—The Studies on the Fractional Batch Distillation(Ⅱ)—

Woon-Soo, Jeong\*. · Woo-Sik, Kim\*\*. · Jeong-Rae, Cho\*\*

\* MOST

\*\*Dept. of Chem., Eng., Yon Sei University

### 要 著

本研究는 第 2 報로써 非定常狀態下의 서의 回分蒸留工程의 있어서 Holdup ratio의 效果를 규명하려 한 것이다. 操作時間의 따른 Still pot 內의 濃度變化를 蒸留速度로 定義하여 다음과 같은 理論式을 誘導했다.

$$H_R \ln \frac{x_{ss}(1-x_s)}{x_s(1-x_{ss})} + \mu \cdot \phi \frac{x_{ss} - x_s}{1 - x_{ss}} = \mu \cdot \frac{V}{R+1} \cdot \theta$$

試料는 Benzene-Carbontetrachloride 와 Methanol-Ethanol 等의 二成分系를 使用했으며 實驗值와 比較검토 結果 上記 理論式과 잘一致했다. 한편, Reflux ratio 가 낮을 때는 Holdup ratio 가 증가할수록 分離효과는 증가하였고, Reflux ratio 가 높을 경우의는 Holdup ratio 가 증가할수록 分離효과는 감소했다. 따라서 다른 모든 變數를 일정하게 유지시켰을 때 Holdup ratio 의 分離효과는 Reflux ratio 의 의존함을 알았다. 또 Holdup ratio 의 分離효과가 뚜렷이 나타나지 않았을 때의 Reflux ratio 를 Critical Reflux ratio 라 하였으며 本 研究에서 Benzene-Carbontetra-chlride 의 Critical Reflux ratio 는 9 였고 Methanol-Ethanol 系에서는 2 였다.

### Abstract

This study is concerned with the separation of binary mixtures in the fractional batch distillation under various conditions of Holdup to charge ratio at constant reflux ratio.

The rate of separation is defined as the rate of change in the still composition with respect to the operating time elapsed. Under proper assumption a theoretical equation relating the still composition with the operating time was derived as;

$$H_R \ln \frac{x_{ss}(1-x_s)}{x_s(1-x_{ss})} + \mu \cdot \phi \frac{x_{ss} - x_s}{1 - x_{ss}} = \mu \cdot \left( \frac{V}{R+1} \right) \theta$$

The equation was compared with experimental results obtained with two binary mixtures, i.e., Benzene-CTC (carbontetrachloride) and Methanol-Ethanol, in a Oldershaw-type batch distillation apparatus.

Consequently the equation was found to be substantially agreed with the experimental results, especially,

for the Methanol-Ethanol system. For the benzene-CTC system the equation tended to agree with experimental results.

Meanwhile, holdup ratio was found experimentally to have two counteracting effects on the separation of binary mixtures. Namely, in a series of experimental works, as the reflux ratio was increased above the critical reflux ratio the effect of increased holdup ratio become increasingly unfavorable to sharpness of separation. At reflux ratio below the critical reflux ratio the effect of increasing holdup ratio was favorable. For the Benzene-CTC system (30 plates) the critical reflux ratio was 9, at the Methanol-Ethanol system was 2.

## 1. 序 論

前報<sup>(3)</sup>에서는 still pot 내의 *mvc* 濃度가 時間經過에 따른 變化를 分離速度로 定義하고 必要한 假定을 設定하여 理論式을 誘導하였다. 이때 試料로서 benzene~CCl<sub>4</sub> 및 benzene-toluene 等의 2成分系를 使用하여 이 實驗結果와 理論值를 比較하고 검토하는 한편 2成分系에 있어서 分離度의 영향을 주는 諸因子들에 대하여 綜合的으로 考察했다.

本報에서는 前報와 같은 假定下<sup>(6)</sup>에서, A.O Converse 와 G.D Gross<sup>(1)</sup>들의 연구에서 無視된 holdup Ratio 를 重點으로 检討했다. 먼저 前報의 理論式으로부터 holdup ratio 를 parameter 로한 理論式을 전개하여 그 타당성을 實驗결과와 비교검토 했으며 종류공정시 holdup ratio 를 parameter 로 하여 變化시켰을 때, 이것이 reflux ratio 의 따라서 어떤 종류효과를 나타내는가를 检討했다.

이에 holdup ratio 가 장치에 의존하는 factor 로 알려진<sup>(9, 11, 12, 15, 16)</sup> 만큼 종류공정의 설계를 위한 훌륭한 기초자료를 제공하게 된다고 確信한다.

## 2. 理 論

理論時誘導를 為하여 必要한 모든 假定과 mathematical model 은 前報와 같다. 前報에서 蒸溜速度式의 最終式은 still pot 의서 最上段까지의 系全體의 對하여 收支를 取한 後 Rose 關係式을 利用해서 誘導된 것으로 다음과 같았다.

$$\beta \cdot \ln \frac{x_{s_0}(1-x_s)}{x_s(1-x_{s_0})} + k \cdot \frac{(x_{s_0}-x_s)}{(1-x_s)(1-x_{s_0})} = \left( \frac{V}{R+1} \right) \theta \quad (1)$$

이 式은 다만 一定한 holdup 일 景遇에만 고려된 것이다. 그러므로 試料充填量(*S<sub>F</sub>*)에 對한 全 holdup 量과의 比( $\sum H/S_F$ )인 holdup ratio<sup>(8, 15)</sup> 항을 고려 할 때

上記式은 다시 전개해야 한다.

即,  $\beta = H/\log \alpha$  이므로 column 的 全段數 *t* 를 分子 및 分母의 곱하면 結果的으로 Rose의 常數와 같게된다.

$$\beta = \frac{t \cdot H}{t \cdot \log \alpha} = \frac{\sum H}{\log \alpha^t} = A \quad (2)$$

그리고 Overhead product 中의 *mvc* 的濃度가 대단히 높은 경우 數值計算上  $k \cong \phi - \phi'$  가 됨은 前報에 論한바 있다. 이것을 다시 쓰면

$$k \cong S_F - \sum H - S_F x_F + \sum H x_k \cong S_o(1 - x_{s_0}) \quad (3)$$

(2)(3)式을 (1)式에 代入하여 整理하면,

$$\frac{\sum H}{\log \alpha^t} \ln \frac{x_{s_0}(1-x_s)}{x_s(1-x_{s_0})} + S_o \frac{(x_{s_0}-x_s)}{(1-x_s)} = \left( \frac{V}{R+1} \right) \theta \quad (4)$$

Holdup ratio( $\sum H/S_F$ )頂을 Parameter로 하는 式으로 바꾸기 위해서 (4)式의 兩邊의 *S<sub>F</sub>*에 對한 分離因子(Separtion Factor)<sup>(13)</sup>의 比,  $\log \alpha^t / S_F$  를 곱하고 整理하면 다음과 같은 式이 된다.

$$\begin{aligned} & \frac{\sum H}{S_F} \ln \frac{x_{s_0}(1-x_s)}{x_s(1-x_{s_0})} + \frac{\log \alpha^t}{S_F} (S_F - \sum H) \frac{(x_{s_0}-x_s)}{(1-x_s)} \\ &= \frac{\log \alpha^t}{S_F} \left( \frac{V}{R+1} \right) \theta \end{aligned} \quad (5)$$

또는

$$H_R \ln \frac{x_{s_0}(1-x_s)}{x_s(1-x_{s_0})} + \mu \cdot \phi \frac{(x_{s_0}-x_s)}{(1-x_s)} = \mu \cdot \left( \frac{V}{R+1} \right) \theta \quad (6)$$

여기서  $H_R = \sum H/S_F$ ,  $\mu = \frac{\log \alpha^t}{S_F}$ ,  $\phi = S_F - \sum H$

### 3. 實驗方法

實驗裝置는 前報와 同一하며 方法도 같다. 試料는

### 4. 實驗結果 및 考察

Benzene - CTC 系의 대하여 먼저 전환류(total reflux)

Table 1. Summary of Sample Charged

Batch fractional distillation of 30 vol % *mvc* in binary mixtures with different reflux Ratio and Holdup-to-charge Ratio (Holdup ratio, H%)

Sample No.	Amount of the Sample Charged, $S_F$ (cc)	Holdup Ratio, (H%)	Reflux Ratio	Average Relative Volatility, $\alpha_{av}$	Sample No.	Amount of the Sample Charged, $S_F$ (cc)	Holdup Ratio, H%	Reflux Ratio	Average Relative Volatility, $\alpha_{av}$
A-1	700	15.1	9	1.125	B-1	600	17.3	2	1.6843
A-2	900	11.8	9	1.125	B-2	900	11.6	2	"
A-3	1,400	7.6	9	1.125	B-3	1,400	7.4	2	"
A-4	750	14.1	6	1.125	B-4	1,200	8.6	1	"
A-5	950	11.2	6	1.125	B-5	1,050	9.9	1	"
A-7	1,300	8.2	6	1.125	B-6	980	10.6	1	1.6843
A-9	700	15.1	3	1.125	B-7	1,300	8.0	9	"
A-10	100	11.8	3	1.125	B-8	1,100	9.4	9	"
A-11	1,400	7.6	3	1.125	B-9	900	11.6	9	"
A-12	700	15.1	12	1.125	B-10	1,300	8.0	5	"
A-13	1,500	7.1	12	1.125	B-11	1,000	10.4	5	"
A-14	700	15.1	15	1.125	B-12	600	17.3	5	"
A-15	1,500	7.1	15	1.125					

Legends: A = Benzene - CTC\*(= Carbontetrachloride) System

B = \*Methanol - Ethanol System (to be designated as MeOH~EtOH)

\* *mvc* = more volatile component

methanol~ethanol 및 benzene~carbontetrachloride의 二成分系를 使用했으며 이들 試料는 Table 1에서 나타낸 바와 같다.

그리고 試料充填量( $S_F$ )에 對한 全 Holdup 量과의 比를 H%로 나타냈으며 각 reflux ratio에서 6.9~17.3% 까지 變化시키면서 操作하였다.

分析은 前報와 같은 方法으로 standard refractive-index 와 組成間의 關係 檢量曲線(Fig. 1)을 正確히 作成하여 채취한 試料의 濃度를 分析했다.

로 정상상태에 이르게 한 후, 일정한 reflux ratio 하에서 holdup ratio (H%)를 7.1~15.1 범위로서 변화시켰으며 증기유속을 28 cc/min 으로 일정하게 유지시켰다.

Fig. 2, 3, 4, 5, 및 7은 이러한 조건하에서 조작시간에 대한 still pot 내의 *mvc* 농도  $x_s$ 의 변화를 나타낸 것이다. 일면, holdup ratio의 분리효과의 관계를 나타낸 것이다. Overhead product 中의 *mvc* 농도  $x_D$ 의 시간에 따른 변화( $x_D$  VS.  $\theta$ )를 Fig. 7~11에 도시했다.

그리고 실험결과를 비교검토하기 위하여 각 Fig.에 holdup 을 고려했을 때의 실험 curve 와 no holdup 시의 curve 를 동시에 도시했다.

No holdup 시의 curve 를 작도하기 위하여 Smoker 식을 이용하여<sup>(14,17,18)</sup> *mvc* 농도  $x_s$  와 이에 대응하는 distillate 의 농도  $x_D$ 의 관계 data 를 Table 2(例示)와 같이 구하였고, Rayleigh 식을 이용하여 시간에 따른 농도변화 관계를 Table 3 으로 예시했다.

한편 MeOH—EtOH 2성분계에 대하여 holdup ratio 를 8~17.3%로 변화시키고 증류속도를 20.07 cc/min

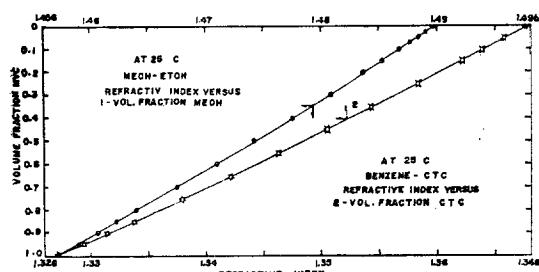


Fig. 1 Relationship between Standard Refractive-Index Composition

Table 2. Comparison of calculated Overhead and Still pot compositions by Smoker eq. and Graphic method for MeOH - EtOH system,  $\alpha = 1.683$  no Holdup.

Reflux Ratio	Overhead composition $x_D$	Still pot composition $x_S$		Reflux Ratio	Overhead composition $x_D$	Still pot composition $x_S$	
		Graphic Method	Smoker Eq.			Graphic Method	Smoker Eq.
1	0.7000	0.4440	0.4410	5	0.9990	0.2920	0.2916
	0.6000	0.3480	0.4076		0.9000	0.2500	0.2468
	0.5384	0.3000	0.3		0.8000	0.2090	0.2078
	0.5000	0.2715	0.2717		0.7000	0.1730	0.1736
	0.4000	0.2040	0.2048		0.6000	0.1430	0.1425
	0.3500	0.1740	0.1742		0.5000	0.1160	0.1143
	0.3000	0.1460	0.1454		0.4000	0.0880	0.0882
	0.2000	0.0950	0.0923		0.3000	0.0660	0.0640
	0.1000	0.0470	0.0441		0.2000	0.0412	0.0414
	0.0500	0.0220	0.0216		0.1000	0.0200	0.0200
	0.0250	0.0111	0.0106		0.0500	0.0110	0.0099
2	0.7000	0.3280	0.3297	9	0.0250	0.0050	0.0049
	0.6577	0.3000	0.301		1.0000	—	0.3000
	0.6000	0.2590	0.2627		0.9999	—	0.1626
	0.5000	0.2030	0.2058		0.9900	—	0.1600
	0.4000	0.1540	0.1559		0.9700	0.1600	0.1561
	0.3000	0.1111	0.1112		0.9500	0.1540	0.1518
	0.2500	—	0.0906		0.9000	0.1470	0.1417
	0.2000	0.0710	0.0709		0.8000	0.1222	0.1222
	0.1000	0.0340	0.0339		0.7000	0.1041	0.1042
	0.0500	0.0160	0.0166		0.6000	0.0880	0.0870
	0.0250	0.0082	0.0083		0.5000	0.0708	0.0708
	5	1.0000	—		0.4000	—	0.553

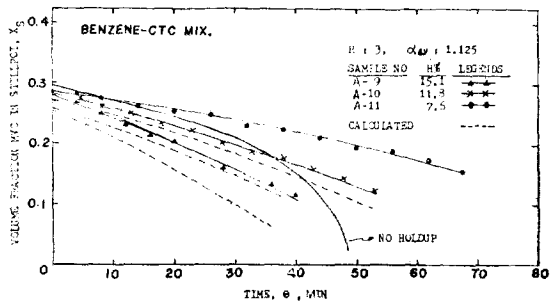
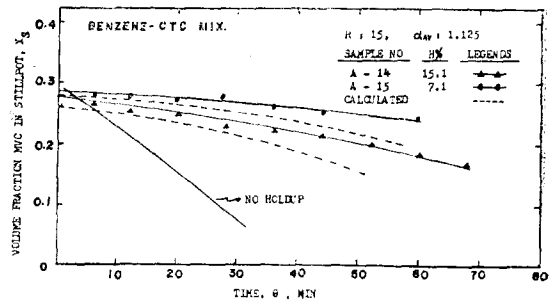
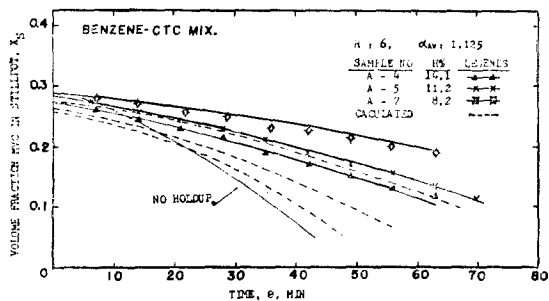
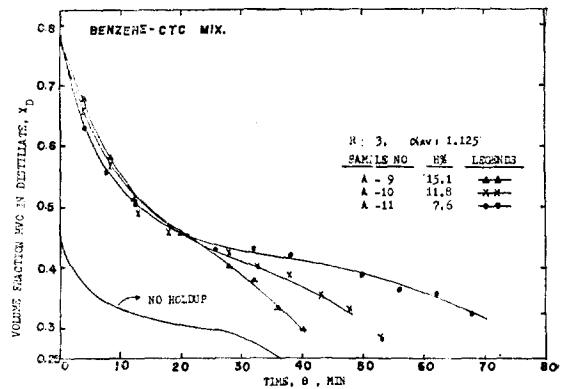
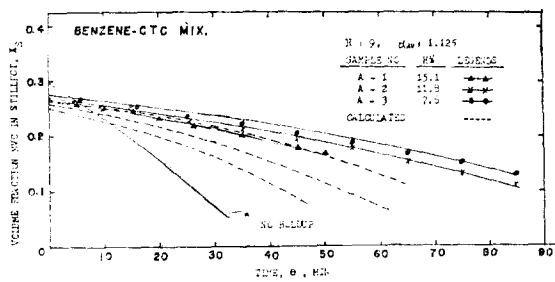
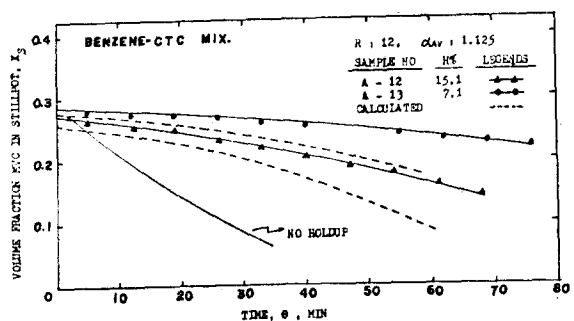
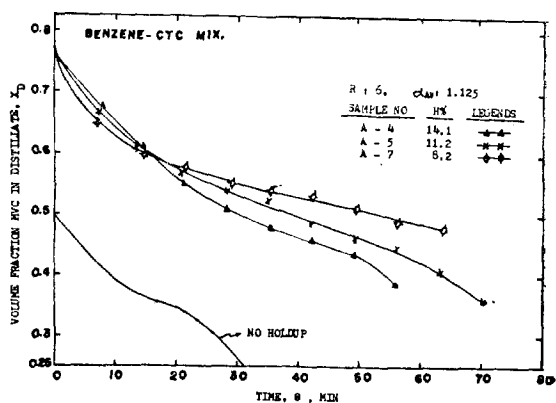
Table 3. Calculated values for MeOH~EtOH Mixture, 5 Reflux ratio 30 Plates, 30 Vol% in Charged.

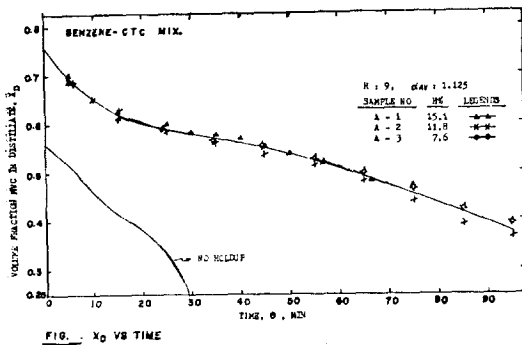
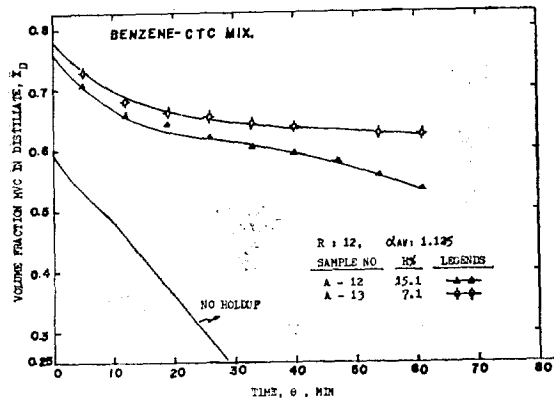
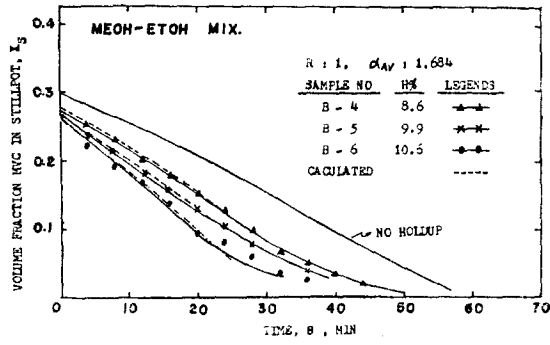
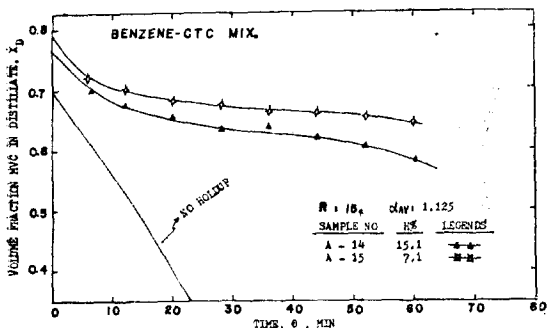
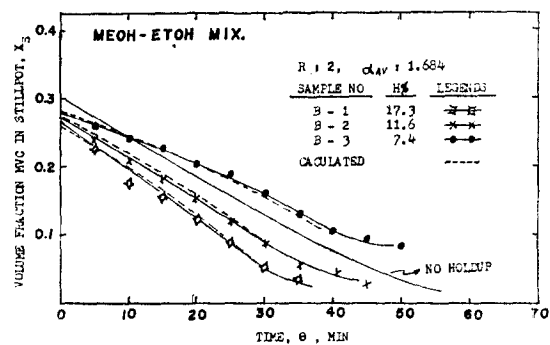
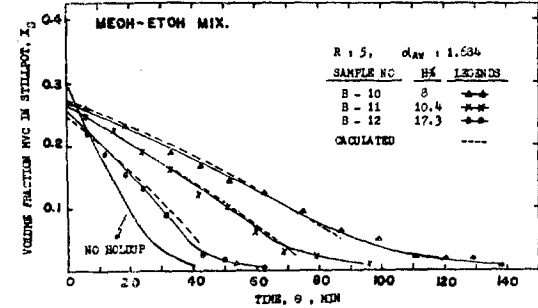
$x_D$	$x_S$	$x_D - x_S$	$\frac{1}{x_D - x_S}$	$\int_{0.3x_D}^{x_S} \frac{dx_3}{x_3}$	$\log W$	Fraction of Original Charge in Still pot, $W$	Fraction Distilled $D_f$	Amount of Distillate $D$ (= $D_f \times S_F$ )	Elapsed Time $\theta$ (min)
1.000	0.3	0.7	1.4285	0	1	0	0	0	0
1.000	0.2921	0.7079	1.4126	-0.0112	-0.0048	0.9890	0.0110	14.3	0.7150
0.999	0.2916	0.7074	1.4136	-0.0119	-0.0051	0.9883	0.0117	15.21	0.7305
0.980	0.2823	0.6977	1.4332	-0.0251	-0.0108	0.9754	0.0246	31.98	1.599
0.950	0.2684	0.6816	1.4671	-0.0452	-0.0196	0.9559	0.0441	57.33	2.8665
0.900	0.2468	0.6532	1.5309	-0.0775	-0.0336	0.9256	0.0744	96.72	4.836
0.800	0.2078	0.5922	1.6886	-0.1402	-0.0608	0.8694	0.1306	169.78	8.489
0.700	0.1736	0.5264	1.8996	-0.2015	-0.0874	0.8177	0.1823	236.99	11.8495
0.600	0.1425	0.4575	2.1857	-0.250	-0.115	0.7674	0.2326	302.38	15.119
0.500	0.1143	0.3857	2.5926	-0.3323	-0.1442	0.7175	0.2825	367.25	18.3625
0.400	0.0883	0.3117	3.2082	-0.4077	-0.1770	0.6653	0.3347	435.11	21.7555
0.300	0.0664	0.2360	4.2372	-0.4981	-0.2162	0.6079	0.3921	509.73	25.4865
0.200	0.0414	0.1586	6.3051	-0.6172	-0.2679	0.5396	0.4604	598.52	29.926
0.100	0.02	0.08	12.50	-0.0184	-0.3553	0.4413	0.5587	726.31	36.31
0.050	0.0099	0.0431	24.9376	-1.0074	-0.4374	0.3653	0.6347	528.11	41.2555
0.025	0.0049	0.0201	49.7512	-1.1941	-0.5184	0.3031	0.6969	905.97	45.2985

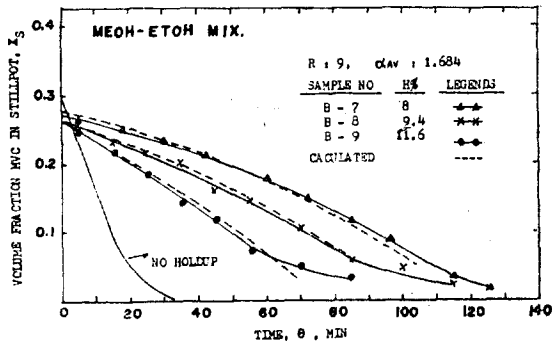
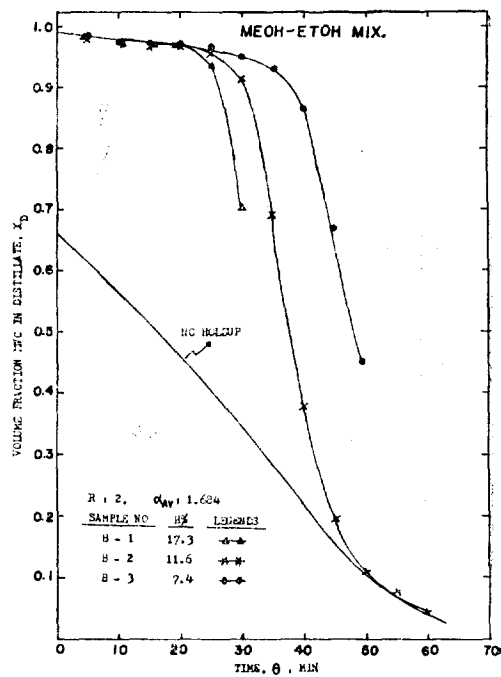
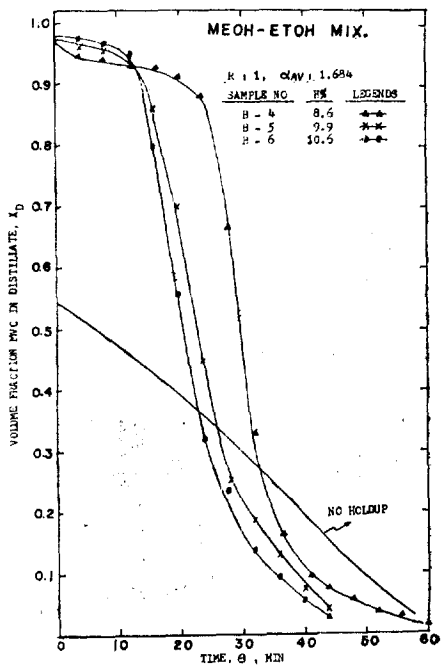
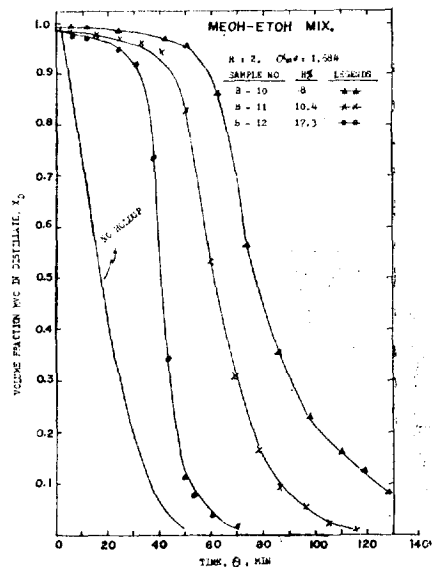
으로 일정하게 유지시키면서 조작시간에 대한 stillpot 내의  $x_s$ 의 변화를 Fig. 12~15에 나타내었다. 또 overhead product 中의 mvc 농도 변화를 Fig. 16~19

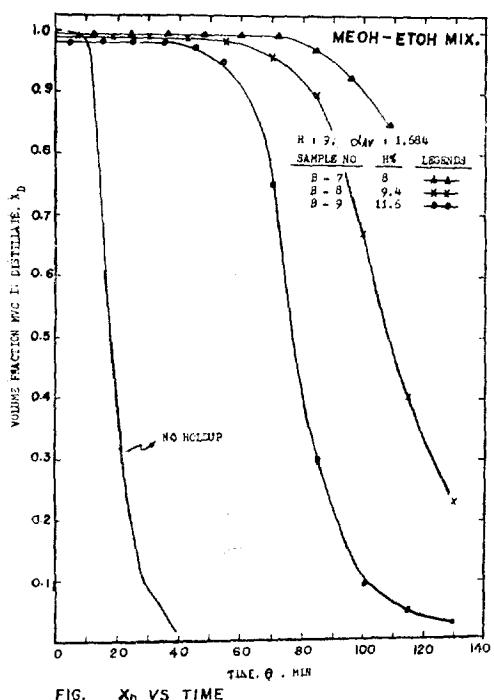
에 도시하고 holdup ratio의 종류효과를 규명했다.

Fig. 2~6에서 보면 조작시간이 경과함에 따라 still pot 내의 mvc 농도는 실험치가 계산치보다 큰 값

Fig. 2  $x_S$  vs. TimeFig. 6  $x_S$  vs. TimeFig. 3  $x_S$  vs. TimeFig. 7  $x_D$  vs. TimeFig. 4  $x_S$  vs. TimeFig. 5  $x_S$  vs. TimeFig. 8  $x_D$  vs. Time

Fig. 9  $x_D$  vs. TimeFig. 10  $x_D$  vs. TimeFig. 11  $x_D$  vs. Time

Fig. 15  $x_S$  vs. TimeFig. 17  $x_D$  vs. TimeFig. 16  $x_D$  vs. TimeFig. 18  $x_D$  vs. Time

Fig. 19  $x_D$  vs. Time

을 나타내고 있으며 이는 시간이 경과함에 따라 그 차가 점차 커져가고 있다. 이것은 overhead product 中의 농도가 높은 조건下에서 유도된 이론식과 비교하였기 때문이다. 그러나 시간변화에 따른  $x_i$ 의 변화는 계산치와 같은 경향을 나타낸다.

일반적으로 환류비가 증가할수록 또한 Holdup ratio 가 감소할수록 그 차는 적어진다. 이것은 Fig. 7~11에서 볼수있는 바와 같이 종류가 진행되는 동안 overhead 中의.mvc 평균농도가 높아가고 있다는 것으로 보아 이해할수 있다. 또한 이 연구에서는 단효율을 100 %로 가정한데서 오는 오차때문에 그와같은 deviation이 초래되었다고 생각된다.

MeOH - EtOH 系에서는 Fig. 12~15( $x_i$ , vs  $\theta$ )에서 볼수있는 바와같이 조작초기에 있어서 계산치가 실험치보다 약간 클 정도 뿐이며 거의 일치하고 있음을 밝혀준다. 이 계에서의 종류에 있어서 overhead product 中의.mvc 농도를 90 %이상 얻는데는 18 단의 column 으로서 충분하다함은 문현<sup>(7,10)</sup>에도 소개된바 조작초기에 있어서는 단수에 의한 영향 및 계의 제 특성치<sup>(3,4)</sup>에서 오는 영향 때문에 생긴 오차임을 알수있다. 그리고 본 실험에서 실제 사용된 단수가 이론수보다 많으

므로 overhead product 의.mvc 체적분율은 0.95 이상의 높은 농도가된다. 이런경우 still pot 내의.mvc 인 MeOH 대부분이 column 내로 이동되어 still pot로의 down stream 中의 MeOH 량이 감소된다. 이러한.mvc의 영향을 받아 reflux ratio 가 증가 할수록 overhead product 의.mvc 농도가 감소되는 시간은 길어지게 마련이며 이에 따라 still pot 내의.mvc 농도가 zero 부근에 이르는 시간은 길어지게 되는 경향을 나타나게 되는 것이다.

한편 Fig. 7~11 및 Fig. 16~19에서 holdup ratio의 효과를 고찰해 보면 Benzen-CTC 계에서는  $R=9$ (Fig. 9), MeOH~EtOH 계에서는  $R=2$  (Fig. 17)이상의 reflux ratio 일 때, 대체적으로 holdup ratio 가 감소할수록 overhead product 의.mvc 농도 curve 는 완만하게 감소되어 간다. 즉, 분리효과는 증가해 간다.例로서 Fig. 11에서  $R=15$ , holdup ratio 7.1 %일 경우, 조작시간 20분에서  $x_D$  는 0.7, holdup ratio 15.1 일때 같은 조건하에서  $x_D$  는 0.66 임을 알수있다.

또 동일 reflux ratio 일 경우 holdup ratio 가 감소할수록.mvc 농도는 증가하는 경향을 나타낸다. 이것은 각 Fig. ( $x_D$  VS  $\theta$ )에 나타난 no holdup 경우의 이론치인 Smoker 식에 의한 curve의 추이와 비교해 봐도 명백하다. 일반적으로 no holdup 의 이론치는 reflux ratio 가 증가함에 따라 이것의 초기농도 ( $x_{i0}$ )는 본 실험상에 나타난 curve에 점차 접근해가나 시간이 경과함에 따라서 overhead product 의.mvc 농도차는 점차 커져 있다. 그런데 reflux ratio 가 낮은 경우(Fig. 7, 16)에는 no holdup의 curve는 조작시간이 경과함에 따라 실험 curve 와 교차한다. 이것으로 판단하여 no holdup 경우의 분리효과는 holdup 을 고려한 경우보다 비효과적임을 알 수 있다. 대체적으로 reflux ratio 가 낮을수록 holdup ratio 에 대한 분리효과는 감소되어 진다. 또  $R=9$ (Fig. 9),  $R=2$  (Fig. 17)에서는 holdup ratio 가 증가 또는 감소하더라도 그 분리효과는 뚜렷히 나타나지 않음을 알수있다. 따라서 holdup ratio ,增減에 따라 overhead product 의.mvc 농도차가 거의 나타나지 않을때의 reflux ratio 를 critical reflux ratio 라 할수있다.

本研究에서 Benzene~CTC 系에서는 critical reflux ratio 가 9 였고, MeOH~EtOH 系에서는 이 보다 낮은 2였다. 이 critical reflux ratio 以下에서上述한 holdup ratio 의 분리효과는 反對로 holdup ratio 가 증가할수록 그 분리효과는 커지는 경향을 나타낸다. 이로서 reflux ratio 는 holdup ratio 의 增減에 따라 그 분리 효과를 나타내는 중요한 factor 임을 확인할수있다.

다. Reflux ratio 가 회분증류공정상에 미치는 효과에 대해서는 몇몇 보문<sup>(3, 9, 13)</sup>에서 밝힌 바 있다. 이와 같이 Critical reflux ratio 를 중심으로한 holdup ratio 의相反的效果는一般的으로 조작이 진행되는 동안 column 내의 mvc 농도 변화에 기인된다고 생각되나, 유도된

이론식(식 6)에서 holdup ratio  $H_R = \frac{\sum H}{S_F}$  가 reflux

ratio 에 반비례 관계에 있으므로 이 이론식이 예전해 주는 바와 같이 still pot 내의 농도변화도 이에 관련되고 있음을 알수있다. (Fig. 2~6 및 Fig. 11~15)

즉 낮은 reflux ratio 에서 조작할때 Column 을 통한 분별증류 완결시간은 빨라지게 되는바, 이때 holdup ratio 가 증가할수록 증류 curve 는 완만해지며, 높은 reflux ratio 로 조작시에는 이 완결시간이 길어지게 된다. 이 경우 holdup ratio 가 낮을수록 overhead product 의 증류 curve 는 still pot 내의 증류속도 curve 변화에 따라 감소된다. 이것은 非定常狀態下에서 분별 증류 조작시, still pot 내에 있는 mvc 농도가 column 내로 이동되어졌을때 비접이하인 액상의 reflux 로 인한 downflow 와의 物質收支 몇 傳達現像에 기인되는 것이라 생각된다.

## 5. 結 論

非定常狀態下에서의 회분식 증류공정의 분리도를究明하기 위하여 먼저 holdup ratio 를 parameter 로 하여操作시간經過에 따른 still pot 内의 mvc 의濃度變化에關한理論式을誘導하고 이를 Benzene~CCl<sub>4</sub>系 및 MeOH~EtOH系를 시료로한 實驗值와 比較하였으며 한편, 回分蒸溜에서 主要한 factor 로 알려진 holdup ratio 的 증류효과에 대하여 고찰한바 다음과 같은結果를 얻었다.

1. Mathematical model 을 선정하고 필요한 假定下에서 holdup ratio 를 parameter 로 하여 still pot 内에서의 mvc 的 操作時間에 對한 變化를 分離速度로 定義하고 理論的으로誘導한 式은 다음과 같다.

$$H_R \ln \frac{x_{s_2}(1-x_s)}{x_s(1-x_{s_0})} + \mu \cdot \phi \left( \frac{x_{s_0}-x_s}{1-x_{s_0}} \right) = \mu \cdot \left( \frac{V}{R+1} \right) \theta$$

그리고 上記式으로 부터의 계산치와 실험치를 비교한 결과 overhead product 中의 mvc 가 를때에 상기식은 실험치와 잘 일치한다.

2. Reflux ratio 가 낮을때는 holdup ratio 가 증가할수록 overhead product 의 mvc 的 分리속도는 서서히

감소한다. 즉 overhead product 的 分離效果가 增加한다. Critical reflux ratio 에서는 holdup ratio 的 변화에 따른 분리효과는 거의 찾아 볼 수 없다. 또 reflux ratio 가 높을때는 holdup ratio 가 증가할수록 분리효과는 감소한다.

3. 다른 모든 변수를 일정하게 유지시켰을때 holdup ratio 的 分리효과는 reflux ratio 에 依存한다.

4. 本實驗에서 使用한 30段의 회분증류 column 을 통한 MeOH~EtOH系에서의 critical reflux ratio 는 2이며, benzene-CCl<sub>4</sub>系에서는 9였다. 이 critical value 는 二成分系 및 relative volatility에 따라 相異한 값이다.

## Nomenclature

CTC=Carbon tetrachloride

D=Rate of overhead product removal, cc/min.

h=Total holdup of MVC in the entire column, cc

H=Liquid holdup on each plate, cc

L=Rate of liquid flow, cc/min.

mvc=More volatile component

R=Reflux ratio., L/D

S=Liquid remaining in still pot, cc

t=Number of plate

V=Rate of vapor flow, cc/min.

x=Volume fraction of mvc in liquid phase

y=Volume fraction of mvc in vapor phase

$\alpha$ =Relative volatility

$\theta$ =Time, min.

$X_h$ =Volume fraction of mvc in total holdup, defined

$$\text{as } \frac{1}{t} \sum_{n=1}^t x_n$$

## Subscripts

$av$ =for average

$D$ =for distillate

$F$ =for feed charged to still

$n$ =for number of any plate counting from the still pot

$o$ =for initial value when equilibrium has been reached  
but before any product is removed ( $\theta=0$ )

$R$ =for ratio

$s$ =for still pot

## Literature

- Converse, A. O. and Gross, G. D., I & EC

- Fundamentals*, 2, No. 3, 217(1963).
2. Fred, G., *Chem. Eng.*, 18, Jul., 159(1966).
  3. Lee, S.M., Joe, Y.I. and Cho, J.R., *KICHE*, 9, No. 4, 207(1971).
  4. Mapstone, G.E., *British Chem. Eng.*, (cl82), Bl5:220(99) (1970).
  5. Perry Hand Book, McGraw-Hill, 3/e, New York, p525 (1950).
  6. Rayleigh, Phil. Mag., 4, 521(1902).
  7. Rose and Elizabeth Rose, et al., "Distillation", Interscience Publishers Inc., New York, p169 (1951).
  8. *Ibid.*, p145(1951).
  9. Rose, A., et al., *IEC*, 42, No. 9, 1876(1950).
  10. Rose, A., Curtis Johnson and Therodore, *Chem. Eng. Progr.*, 48, No. 11, 549(1952).
  11. *Ibid.*, 49, No. 1, 15(1953).
  12. *Ibid.*, 42, No. 10, 2145(1950).
  13. Rose, A., and Harry, H., *Ind. Eng. Chem.*, 33, 684(1941).
  14. Rose, A., and Lewis M. Welshane, *Ibid.*, 32, No. 5, 668(1940).
  15. Rose, A., and Victor J. O'Brin, *Ibid.*, 44, No. 6, 1480(1952).
  16. *Ibid.*, 42, No. 10, 2145(1950).
  17. Smoker, Am, *Inst. Chem. Engrs.*, 34, 165 (1938).
  18. 化學工場 Vol 16, No. 5, 65(1972).